

# 数值分析

## — 科学与工程计算基础

任课教师：黄忠亿

清华大学数学科学系



# 目录 I

1 引言

2 线性方程组的直接解法

3 线性方程组的迭代解法

4 非线性方程(组)迭代解法

5 代数特征值问题的求解

6 插值法

7 函数逼近与数据拟合

8 数值积分与微分

9 常微分方程数值解

- 常微方程初值问题的差分方法

- 常微方程初值问题的线性多步法

- 常微方程差分方法的绝对稳定性与相对稳定性



# 常微方程差分方法基本理论

许多常见、重要的自然科学(物理、化学、生物)、人文科学及工程技术中许多问题都可以用常微方程(组)初值问题来描述. 通常来说这些问题不能写出其解的解析表达式, 因此需要用数值方法求解.

考虑一阶常微方程(组)初值问题:

$$(9.1) \quad \begin{cases} \frac{dy}{dt} = \mathbf{f}(t, \mathbf{y}), & t \in (0, T], \\ \mathbf{y}(0) = \mathbf{y}_0. \end{cases}$$

$$\text{这里 } \mathbf{y} = \begin{pmatrix} y_1 \\ \vdots \\ y_m \end{pmatrix}, \mathbf{f} = \begin{pmatrix} f_1 \\ \vdots \\ f_m \end{pmatrix}, \mathbf{y}_0 = \begin{pmatrix} y_{0,1} \\ \vdots \\ y_{0,m} \end{pmatrix} \in \mathbb{R}^m.$$



# 常微方程差分方法基本理论

首先我们来看该问题 (9.1) 的适定性.

## 定义 9.1 (适定性)

如果初值问题 (9.1) 满足

- ① 存在唯一解;
- ② 对于任给的  $\varepsilon > 0$ , 存在正数  $\delta^*$ , 使得当  $|\vec{\varepsilon}_0| < \delta^*$  时, 在  $[0, T]$  上有  $\vec{\delta}(x)$  连续, 且  $\|\vec{\delta}\| < \delta^*$  时, 初值问题

$$\begin{cases} \mathbf{z}_t = \mathbf{f}(t, \mathbf{z}) + \vec{\delta}, & t \in (0, T], \\ \mathbf{z}(0) = \mathbf{z}_0 + \vec{\varepsilon}_0. \end{cases}$$

存在唯一解  $\mathbf{z}$ , 且  $\forall t \in [0, T]$  有  $\|\mathbf{z} - \mathbf{y}\| < \varepsilon$ .

那么就称初值问题 (9.1) 是**适定的**.

# 常微方程差分方法基本理论

为了保证问题 (9.1) 的适定性 (即解的存在唯一性及对初值和源项的连续依赖性), 通常假设  $f(t, y)$  关于  $y$  满足 **Lipschitz** 连续条件, 即  $\exists L > 0, \forall t \in [0, T], \forall \mathbf{x}, \mathbf{z} \in \mathbb{R}^m$ , 有

$$(9.2) \quad \|f(t, \mathbf{x}) - f(t, \mathbf{z})\| \leq L \|\mathbf{x} - \mathbf{z}\|.$$

这里  $\|\cdot\|$  为  $\mathbb{R}^m$  中的某种范数.

关于适定性我们有以下结论:

## 定理 9.1

设  $D = [0, T] \times \mathbb{R}^m$ ,  $f(t, y)$  在  $D$  上连续并满足 *Lipschitz* 条件 (9.2), 那么初值问题 (9.1) 是适定的.



# 差分方法求解常微分方程初值问题

鉴于一般常微分方程初值问题的解

$$y(t) = y_0 + \int_0^t f(s, y(s)) ds,$$

不一定有简单解析表达式, 我们一般都用数值方法来求近似解.

为简单起见, 假设对区间  $[0, T]$  采用等距剖分:

取自然数  $N$ , 令步长  $h = \frac{T}{N}$ ,  $t_n = nh$ ,  $n = 0, 1, \dots, N$ .

下面看如何用数值方法计算出  $y(t_n)$  的近似值  $y_n$ .



# 差分格式的一般形式

为简单起见, 以下取  $m = 1$ . 可以很容易推广到  $m > 1$  情形.

一般来说, 如果知道了  $y_0, y_1, \dots, y_{k-1}$  的值, 可用以下算法来求  $y_k$ :

$$(9.3) \quad \begin{cases} \sum_{j=0}^k \alpha_j y_{n+j} = h \phi_f(t_n; y_n, y_{n+1}, \dots, y_{n+k}; h), & n \geq 0, \\ y_j = S_j(h), & j = 0, 1, \dots, k-1. \end{cases}$$

这里假设  $\alpha_k \neq 0$ .

$k = 1$  称为单步法.  $k > 1$  称为多步法.

$\phi_f$  取不同形式的函数, 可得到不同的方法.



# 最简单的单步法—Euler 法

我们先来看最简单的单步法如何构造 (我们将给出几种不同的构造思路).

己知道初始值  $y(t_0) = y_0$ , 假设  $y(t)$  充分光滑, 由 **Taylor** 展开

$$y(t_1) = y(t_0 + h) = y(t_0) + hy'(t_0) + \frac{h^2}{2}y''(\xi), \quad \xi \in (t_0, t_1).$$

略去二阶项我们得到  $y(t_1) \approx y_1 = y_0 + hf(t_0, y_0)$ .

有了  $y_0$  便可以由此计算出  $y(t_1)$  的近似值, 类推下去便可求得  $y_2, y_3, \dots$ :

$$(9.4) \quad y_{n+1} = y_n + hf(t_n, y_n), \quad n = 0, 1, \dots, N-1$$

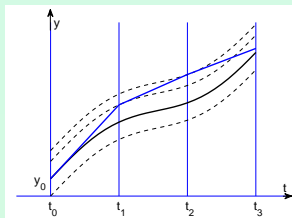
此即 **Euler** 法.





# 最简单的单步法—Euler 法

我们也可以从其几何意义来看：



由常微分方程理论我们知道  $\frac{dy}{dt} = f(t, y)$  的通解为  $(t, y)$  平面上的一族积分曲线. 由适定性理论可知, 过  $(t, y)$  平面上任一点  $(t^*, y^*)$  恰好有一条解曲线.

**Euler 法**即过  $(t_0, y_0)$  做过该点的积分曲线的切线交直线  $t = t_1$  于  $(t_1, y_1)$ , 然后过  $(t_1, y_1)$  做过该点的积分曲线的切线交直线  $t = t_2$  于  $(t_2, y_2)$ ,  $\dots$  依次做下去便得到近似解  $y_1, y_2, y_3, \dots$

显然, 步长  $h$  越小, 折线段会越靠近过  $(t_0, y_0)$  的那条解曲线.

由适定性的保证



# 最简单的单步法—Euler 法

还可以从积分形式来推导 **Euler 法**:

由初值问题 (9.1) 的等价积分形式

$$(9.5) \quad y(t) = y_0 + \int_{t_0}^t f(s, y(s)) ds,$$

可得  $y(t_1) = y_0 + \int_{t_0}^{t_1} f(s, y(s)) ds.$

然后用‘**左矩积分公式**’计算上面积分即得

$$y_1 = y_0 + hf(t_0, y_0),$$

此即 **Euler 法**.



# 隐式 Euler 法

如果在 (9.5) 中使用右矩公式, 我们可以得到

$$(9.6) \quad y_{n+1} = y_n + hf(t_{n+1}, y_{n+1}).$$

这称为**隐式 Euler 法**或称为**后退 Euler 法**. 如果  $f(t, y)$  为  $y$  的非线性函数, 那么上面**隐式 Euler 法**就需要迭代求解. 可用**显式 Euler 法**给出初值, 然后进行**Picard 迭代**: **稳定性会更好一些**

$$y_{n+1}^{(0)} = y_n + hf(t_n, y_n),$$

$$y_{n+1}^{(1)} = y_n + hf(t_n, y_{n+1}^{(0)}),$$

.....

$$y_{n+1}^{(k+1)} = y_n + hf(t_n, y_{n+1}^{(k)})$$

当  $\left| y_{n+1}^{(k+1)} - y_{n+1}^{(k)} \right| < \varepsilon$  ( $\varepsilon$  事先给定) 时停止迭代, 令  $y_{n+1} = y_{n+1}^{(k+1)}$ .

# 隐式 Euler 法

对于以上简单迭代方法

$$(9.7) \quad y_{n+1}^{(k+1)} = y_n + hf(t_n, y_{n+1}^{(k)}), \quad k = 0, 1, \dots$$

由于我们一般都假设  $f(t, y)$  关于  $y$  满足 **Lipschitz** 条件,

$$|f(t, y_1) - f(t, y_2)| \leq L|y_1 - y_2|$$

将(9.7)与(9.6)式相减, 我们得到

利用  $y_{n+1}$  的隐式表达方式

$$\begin{aligned} |y_{n+1} - y_{n+1}^{(k+1)}| &= h \left| f(t_{n+1}, y_{n+1}) - f\left(t_n, y_{n+1}^{(k)}\right) \right| \\ &\leq Lh \left| y_{n+1} - y_{n+1}^{(k)} \right| \leq \dots \\ &\leq (Lh)^{k+1} \left| y_{n+1} - y_{n+1}^{(0)} \right| \end{aligned}$$

也就是说只要  $Lh < 1$ , 上述迭代方法 (9.7) 会收敛.



## 梯形法与改进的 Euler 法

从上面积分形式推导的过程可以知道, 显然用高精度的数值积分格式应该可以得到更好的差分方法!

如果我们使用梯形公式计算 (9.5) 中的积分, 得到

$$y_{n+1} = y_n + \frac{h}{2}[f(t_n, y_n) + f(t_{n+1}, y_{n+1})], \quad n \geq 0,$$

此即梯形法. 显然这也是一种隐式格式, 一般需要迭代求解. 如果我们仍然使用显式 **Euler** 法提供初值进行 **Picard** 迭代, 有

迭代不是必须的, 有些情况下可以隐式格式可以求解

$$(9.8) \quad \begin{cases} y_{n+1}^{(0)} = y_n + hf(t_n, y_n), \\ y_{n+1}^{(k+1)} = y_n + \frac{h}{2} \left[ f(t_n, y_n) + f\left(t_{n+1}, y_{n+1}^{(k)}\right) \right], \quad k = 0, 1, \dots \end{cases}$$

类似于上面的推导可知, 当  $\frac{Lh}{2} < 1$  时以上迭代是收敛的.



## 梯形法与改进的 Euler 法

上述迭代过程中每一步都需要计算非线性函数  $f(t, y)$  的值, 如果每一时间步都计算多次的话, 通常来说这个计算量较大. 而我们知道通常时间步长  $h$  并不大, 所以我们用 Euler 法提供初值 (预估) 之后, 可以迭代 (校正) 一次即可, 这便是改进的 Euler 法:

$$\begin{cases} \bar{y}_{n+1} = y_n + hf(t_n, y_n), \\ y_{n+1} = y_n + \frac{h}{2}[f(t_n, y_n) + f(t_{n+1}, \bar{y}_{n+1})]. \end{cases}$$

把  $\bar{y}_{n+1}$  代入第二式也可以写成一步的形式

$$(9.9) \quad y_{n+1} = y_n + \frac{h}{2}[f(t_n, y_n) + f(t_{n+1}, y_n + hf(t_n, y_n))].$$

这个改进的 Euler 法也是一种显式单步法.



# 几种单步法的对比

我们来看一个例子：

例 9.1 (用以上几种单步法解初值问题)

$$\begin{cases} y'(t) = -y(t), & t > 0; \\ y(0) = 1. \end{cases} \quad \text{初值问题的解为 } y(t) = e^{-t}.$$

取步长  $h = 0.1$ , 从  $t = 0$  计算到  $t = 4$ .

$t_n$	<b>Euler</b> $y_n$	改进 <b>Euler</b> $y_n$	梯形法 $y_n$	$y(t_n)$
<b>1.0</b>	<b>3.4867E-1</b>	<b>3.6854E-1</b>	<b>3.6757E-1</b>	<b>3.6788E-1</b>
<b>2.0</b>	<b>1.2158E-1</b>	<b>1.3582E-1</b>	<b>1.3511E-1</b>	<b>1.3534E-1</b>
<b>3.0</b>	<b>4.2391E-2</b>	<b>5.0056E-2</b>	<b>4.9663E-2</b>	<b>4.9787E-2</b>
<b>4.0</b>	<b>1.4781E-2</b>	<b>1.8447E-2</b>	<b>1.8255E-2</b>	<b>1.8316E-2</b>

可以看到改进**Euler**与梯形法差别不大, 但是都远好于**Euler**法。



# 高阶单步法

显然上面给出的几种方法都还不算是精度太高的方法 (上例中如果继续计算到  $t = 5$  有效位会继续减少). 如何系统化地构造更高精度的格式呢?

从 **Euler** 法的构造来类推的话, 最容易想到的当然是用 **Taylor** 级数展开截断办法:

$$y(t+h) = y(t) + hy'(t) + \frac{h^2}{2}y''(t) + \cdots + \frac{h^p}{p!}y^{(p)}(t) + \mathcal{O}(h^{p+1}),$$

如果我们舍去高阶项  $\mathcal{O}(h^{p+1})$ , 便可以得到一种差分格式. 下面主要看如何计算  $y^{(p)}(t)$ ? 因为  $y(t)$  为初值问题的解, 那么有





# 高阶单步法

$$\begin{aligned}y'(t) &= f(t, y(t)) \\y''(t) &= \frac{df}{dt} = \frac{\partial f(t, y)}{\partial t} + \frac{\partial f(t, y)}{\partial y} \frac{dy}{dt} = \frac{\partial f}{\partial t}(t, y) + \frac{\partial f}{\partial y}(t, y) f(t, y) \\&\dots\end{aligned}$$

如果我们截断到  $p = 1$ , 得到的就是显式 **Euler 法**:

$$y_{n+1} = y_n + hf(t_n, y_n).$$

但是如果  $p > 1$ , 我们就需要计算  $f(t, y)$  的各种偏导数了。

计算高阶偏导数显然工作量太大, 而且我们有时候仅知道  $f$  的一些离散值列表, 那么计算这些偏导数的精度也很有限了。

因此我们**实际计算中很少采用这个办法**。



# Runge-Kutta 方法—数值积分

我们下面主要从数值积分角度推导一下高阶单步法 —  
**Runge-Kutta 方法:**

将 (9.1) 中的方程改写成积分形式

$$(9.10) \quad y(t) = y(t_0) + \int_{t_0}^t f(s, y(s)) ds.$$

这样如果我们知道了  $y_n$ , 可以如下计算  $y_{n+1}$ :

$$y(t_{n+1}) = y(t_n) + \int_{t_n}^{t_{n+1}} f(s, y(s)) ds.$$

问题是如何计算上面的定积分. 要想获得高精度近似解, 一般在  $[t_n, t_{n+1}]$  上引入几个新节点:  $t_n \leq s_1 \leq s_2 \leq \cdots \leq s_m \leq t_{n+1}$ . 记  $s_j = t_n + a_j h$ .



# Runge-Kutta 方法—数值积分

如果知道了  $f$  在  $(s_j, y(s_j))$  上的值  $K_j$ , 可以用公式

$$y_{n+1} = y_n + h \sum_{j=1}^m c_j K_j$$

来计算  $y_{n+1}$ , 其中

$$\int_{t_n}^{t_{n+1}} f(s, y(s)) ds \approx h \sum_{j=1}^m c_j K_j = h \sum_{j=1}^m c_j f(s_j, y(s_j))$$

为数值积分公式. 即用  $f$  在  $s_j (j = 1, \dots, m)$  上的值构造  $m-1$  次插值多项式, 然后代替  $f$  积分便求得上面定积分的近似值.

如何计算  $y(s_j) = y(t_n) + \int_{t_n}^{t_n + a_j h} f(s, y(s)) ds$  又有多多个选择:

如果使用显式格式计算, 即用  $f$  在  $s_1, \dots, s_{j-1}$  上的值做插值来计算上述积分:  $y(s_j) \approx y_n + h \sum_{l=1}^{j-1} b_{jl} f(s_l, y(s_l))$ .



# Runge-Kutta 方法—数值积分

代入  $K_j$  的表达式即得:  $K_j = f(t_n + a_j h, y_n + h \sum_{l=1}^{j-1} b_{jl} K_l)$ ,  
 $j = 1, 2, \dots, m$ .

由显式计算的要求, 有  $a_1 = 0$ , 即  $s_1 = t_n$ ,  $K_1 = f(t_n, y_n)$ .

最终得到显式 **Runge-Kutta** 格式为

$$(9.11) \quad \begin{cases} y_{n+1} = y_n + h \sum_{j=1}^m c_j K_j, \\ K_j = f(t_n + a_j h, y_n + h \sum_{l=1}^{j-1} b_{jl} K_l), \quad j = 1, \dots, m. \end{cases}$$

这相当于在(9.3) 中取  $\phi_f = \sum_{j=1}^m c_j K_j$ .



# Runge-Kutta 方法—待定系数法

我们也可以基于待定系数法和 **Taylor** 展开来推导 **R-K** 格式.

我们假设 **R-K** 格式有 (9.11) 形式. 下面问题是如何确定系数  $\{a_j, b_{jl}, c_j\}$ ? 由 **Taylor** 展开 (假设  $0 < h \ll 1$ ):

$$y(t_{n+1}) = y(t_n) + hy'(t_n) + \cdots + \frac{h^p}{p!} y^{(p)}(t_n) + \mathcal{O}(h^{p+1}).$$

若令  $\phi(t, y(t); h) = \sum_{j=1}^p \frac{h^{j-1}}{j!} \frac{d^{j-1} f(t, y(t))}{dt^{j-1}}$ , 则有

$$y(t_{n+1}) = y(t_n) + h\phi(t_n, y(t_n); h) + \mathcal{O}(h^{p+1}).$$

舍去高阶项便得到计算公式

$$(9.12) \quad y_{n+1} = y_n + h\phi(t_n, y_n; h).$$



# Runge-Kutta 方法——待定系数法

当然，我们已经说了上面的 (9.12) 一般不使用. 但是我们可以通过比较 (9.11) 与 (9.12) 来确定系数  $\{a_j, b_{jl}, c_j\}$ .

我们将 (9.11) 中的  $K_j$  也在  $(t_n, y_n)$  处做Taylor展开, 也能得到如下形式

$$y_{n+1} = y_n + h\tilde{\phi}(t_n, y_n; h).$$

其中  $\tilde{\phi}(t_n, y_n; h)$  也按照  $h$  的升幂次序排列, 其中的系数自然包含了  $\{a_j, b_{jl}, c_j\}$ . 将之与 (9.12) 中的  $\phi$  关于  $h$  的相应幂次项的系数做比较, 令其相同便可求出  $\{a_j, b_{jl}, c_j\}$ .

下面来看一个例子.



# Runge-Kutta 方法——待定系数法

## 例 9.2

$m = 1$  即为最简单的 *Euler* 法:  $y_{n+1} = y_n + hf(t_n, y_n)$ .

$m = 2$  时, 比较系数有  $c_1 + c_2 = 1, a_2c_2 = \frac{1}{2}$ .

这自然有无穷多组解. 常用的有以下两种 ( $f_n \equiv f(t_n, y_n)$ ):

① 显式中点格式:  $c_1 = 0, c_2 = 1, a_2 = \frac{1}{2}$ , 即

$$y_{n+1} = y_n + hf\left(t_n + \frac{h}{2}, y_n + \frac{h}{2}f_n\right).$$

② 改进 *Euler* 法:  $c_1 = c_2 = \frac{1}{2}, a_2 = 1$ , 即

$$y_{n+1} = y_n + \frac{h}{2}[f_n + f(t_n + h, y_n + hf_n)].$$

$m = 4$  时, 首先由显式要求及相容性有

$$a_1 = 0, a_2 = b_{21}, a_3 = b_{31} + b_{32}, a_4 = b_{41} + b_{42} + b_{43}.$$

# Runge-Kutta 方法——待定系数法

再比较  $\phi$  与  $\tilde{\phi}$  的系数(利用了前面的公式)有

$$\sum_{j=1}^4 c_j a_j^{l-1} = \frac{1}{l}, l = 1, 2, 3, 4; \quad c_3 a_2 b_{32} + c_4 (b_{42} a_2 + b_{43} a_3) = \frac{1}{6},$$

$$c_3 b_{32} a_2^2 + c_4 b_{43} a_3^2 = \frac{1}{12}, \quad c_4 b_{43} a_2 b_{32} = \frac{1}{24},$$

$$c_3 a_3 a_2 b_{32} + c_4 a_4 (b_{42} a_2 + b_{43} a_3) = \frac{1}{8}.$$

这显然也有无穷多组解. 取一组特殊值

$$\mathbf{a} = \left(0, \frac{1}{2}, \frac{1}{2}, 1\right), \quad \mathbf{c} = \left(\frac{1}{6}, \frac{1}{3}, \frac{1}{3}, \frac{1}{6}\right),$$

$$b_{21} = \frac{1}{2}, \quad b_{31} = 0, \quad b_{32} = \frac{1}{2}, \quad b_{41} = 0 = b_{42}, \quad b_{43} = 1.$$

此即经典 4 级 Runge-Kutta 方法.





# 隐式 Runge-Kutta 方法

我们也可以采用隐式的**Runge-Kutta**方法, 即用  $f$  在所有  $s_l$  上的值做插值来计算  $y(s_j) = y(t_n) + \int_{t_n}^{s_j} f(t, u(t)) dt$  中的积分:

$$y(s_j) = y(t_n + a_j h) \approx y_n + h \sum_{l=1}^m b_{jl} f(s_l, y(s_l)),$$

代入  $K_j$  的表达式即有以下隐式**R-K**算法:

$$(9.13) \quad \begin{cases} y_{n+1} = y_n + \sum_{j=1}^m c_j K_j, \\ K_j = f\left(t_n + h a_j, y_n + h \sum_{l=1}^m b_{jl} K_l\right), \quad j = 1, \dots, m. \end{cases}$$

当然隐式**R-K**格式的缺点在于无法显式计算上面的  $K_j$ , 通常要求解一个非线性方程组才能得到。



# 隐式 Runge-Kutta 方法

虽然我们也可以用待定系数法来得到隐式 **R-K** 格式, 以下我们仅从数值积分角度来推导.

我们既然用隐式格式, 自然希望格式的精度尽可能高, 从而我们希望数值积分公式的代数精度尽可能高. 这样一来我们应该采用 **Gauss** 型求积公式来计算积分:

$$(9.14) \quad y_{t_{n+1}} = y(t_n) + \int_{t_n}^{t_{n+1}} f(s, y(s)) ds \approx y_n + h \sum_{j=1}^m c_j K_j,$$

$$(9.15) \quad y(s_j) = y(t_n) + \int_{t_n}^{s_j} f(s, y(s)) ds \approx y_n + h \sum_{l=1}^m b_{jl} K_l, \quad 1 \leq j \leq m.$$

即  $s_1, \dots, s_m$  是在区间  $[t_n, t_{n+1}]$  上的  $m$  次 **Legendre** 多项式零点.



# 隐式 Runge-Kutta 方法

有了高斯积分节点  $s_j$ , 由 (9.14) 积分公式应该具有  $2m - 1$  阶代数精度, 可取  $f(t_n + \tau h) = (\tau h)^{l-1}, l = 1, \dots, m$  代入 (9.14) 即得

$$(9.16) \quad \sum_{j=1}^m c_j a_j^{l-1} = \frac{1}{l}, \quad l = 1, \dots, m.$$

求解上述方程组便可得到  $c_j$ . 类似由 (9.15) 具有  $2m - 1$  阶代数精度, 同样可得

$$(9.17) \quad \sum_{j=1}^m b_{ij} a_j^{l-1} = \frac{1}{l} a_i^l, \quad l = 1, \dots, m; \quad i = 1, \dots, m.$$

同样求解上述方程组便可得到  $b_{ij}$ .



# 隐式 Runge-Kutta 方法

即计算  $a_j, b_{ij}, c_j$  的步骤为:

- ① 求出  $[-1, 1]$  上  $m$  次 **Legendre** 多项式的零点  $\xi_j \Rightarrow a_j = \frac{1+\xi_j}{2}$ ;
- ② 由 (9.16) 式计算出  $c_j, j = 1, \dots, m$ ;
- ③ 对  $i = 1, \dots, m$  由 (9.17) 式计算出  $b_{ij}, j = 1, \dots, m$ .

## 例 9.3

$m = 1, P_1(t) = t \Rightarrow a_1 = \frac{1}{2}, c_1 = 1, b_{11} = \frac{1}{2}$ . 此即隐式中点格式:

$$y_{n+1} = y_n + hf \left( t_n + \frac{h}{2}, \frac{1}{2}(y_n + y_{n+1}) \right).$$

$m = 2, P_2(t) = \frac{3t^2-1}{2} \Rightarrow$

$$a_{1,2} = \frac{1}{2} \pm \frac{\sqrt{3}}{6}, \quad c_{1,2} = \frac{1}{2}, \quad B = \begin{pmatrix} \frac{1}{4} & \frac{1}{4} - \frac{\sqrt{3}}{6} \\ \frac{1}{4} + \frac{\sqrt{3}}{6} & \frac{1}{4} \end{pmatrix}$$

# 单步法的相容性、收敛性与稳定性

下面我们来分析一下这些单步法的性质.

## 定义 9.2 (截断误差)

对于公式  $y_{n+1} = y_n + h\phi(t_n, y_n; h)$ , 令

$$R_n = L[t_n, y(t_n); h] = y(t_{n+1}) - y(t_n) - h\phi(t_n, y(t_n); h)$$

为单步法的 **局部截断误差**, 即假设之前函数值准确的前提下, 用该单步法计算一步产生的误差 (或者说用数值积分公式计算积分  $\int_{t_n}^{t_{n+1}} f(s, y(s))ds$  带来的误差). 进一步的, 令  $\varepsilon_n = y(t_n) - y_n$  (为近似解与真解之间的误差) 称为**整体截断误差**.

一般来说直接估计整体截断误差不太容易, 我们可以通过局部截断误差来估计.



# 单步法的相容性、收敛性与稳定性

## 例 9.4 (Euler法的误差分析)

对于 **Euler** 法, 利用 **Taylor** 展开  $R_n = \frac{h^2}{2}y''(\xi)$ , 其中  $\xi \in (t_n, t_{n+1})$ .

假设  $y(t)$  充分光滑, 即有局部截断误差为  $R_n = \mathcal{O}(h^2)$  二阶.

下面看如何得到整体截断误差? 由

$$y(t_{n+1}) = y(t_n) + hf(t_n, y(t_n)) + R_n,$$

$$y_{n+1} = y_n + hf(t_n, y_n),$$

相减得到  $\varepsilon_{n+1} = \varepsilon_n + h[f(t_n, y(t_n)) - f(t_n, y_n)] + R_n$ .

由  $f$  关于  $y$  满足 **Lipschitz** 条件, 以及令  $R = \max_n |R_n| = \mathcal{O}(h^2)$

$$\implies |\varepsilon_{n+1}| \leq |\varepsilon_n| + Lh|\varepsilon_n| + |R_n| \leq (1 + Lh)|\varepsilon_n| + R \leq \dots$$

$$\leq (1 + Lh)^{n+1}|\varepsilon_0| + R \sum_{j=0}^n (1 + Lh)^j$$

# 单步法的相容性、收敛性与稳定性

$$\Rightarrow |\varepsilon_{n+1}| \leq (1 + Lh)^{n+1} |\varepsilon_0| + R \frac{(1+Lh)^{n+1} - 1}{Lh}. \text{ 再由 } (1 + \frac{x}{n})^n \leq e^x$$

$$\Rightarrow (1 + Lh)^{n+1} = \left(1 + L \frac{T}{N}\right)^{n+1} \leq \left(1 + L \frac{T}{N}\right)^N \leq e^{LT}$$

$$\Rightarrow |\varepsilon_{n+1}| \leq |\varepsilon_0| e^{LT} + \frac{R}{Lh} (e^{LT} - 1).$$

设  $\varepsilon_0 = 0$ , 由  $R = \mathcal{O}(h^2) \Rightarrow \varepsilon_n = \mathcal{O}(h)$ . 即 **Euler 法整体误差为一阶**.  $\square$

类似可以得到一般常用的  $m(\leq 4)$  级**显式 Runge-Kutta 方法**整体截断误差为  $m$  阶,

**$m$  级隐式 Runge-Kutta 方法整体截断误差为  $2m$  阶.**



# 单步法的相容性、收敛性与稳定性

另外衡量一种差分方法好坏的性质是, 我们显然希望该差分格式是原微分方程的一个好的近似. 相容性即为描述此性质而引入的.

## 定义 9.3 (相容性)

如果  $\lim_{h \rightarrow 0} \frac{1}{h} L[t, y(t); h] = 0$  (即差分格式收敛到常微方程), 则称该格式与原问题相容. 一般如果整体截断误差为  $\varepsilon_n = \mathcal{O}(h^p)$ , 就称之为  $p$  阶相容格式.

不失一般性, 我们以下假设  $f(t, y)$  在其定义域上是一致连续和一致有界的. 我们有以下定理结论





# 单步法的相容性、收敛性与稳定性

## 定理 9.2

单步法  $y_{n+1} = y_n + h\phi(t_n, y_n; h)$  相容的充分必要条件是

$$(9.18) \quad \lim_{h \rightarrow 0} \phi(t, y; h) = f(t, y).$$

◁ 由方程有  $y(t+h) - y(t) = \int_0^h f(t+s, y(t+s))ds$ .

利用  $f$  的一致有界性, 显然有  $h \rightarrow 0$  时, 上式右式趋于0.

这样有  $h \rightarrow 0$  时, 再利用  $f$  的一致连续性, 可以得到

$$\begin{aligned} \frac{1}{h}L[t, y; h] + \phi(t, y; h) - f(t, y) &= \frac{1}{h}[y(t+h) - y(t)] - y'(t) \\ &= \frac{1}{h} \int_0^h [y'(t+s) - y'(t)]ds \rightarrow 0 \end{aligned}$$

从而证明了定理结论. ▷

# 单步法的相容性、收敛性与稳定性

但是实际上初值的误差  $\varepsilon_0$  一般也不为零, 例如是测量数据的话可能包含测量误差, 如果是用其它方法计算得到的, 也可能包含舍入误差等. 这样我们需要考虑此误差随计算过程的传递是否会带来恶性影响.

## 定义 9.4

如果初值误差带来的影响可以被初始误差的某个常数倍控制, 则称该方法对初值是稳定的.

对于线性问题, 如果使用一个相容的、稳定的格式求解, 离散解会收敛到真解 (在忽略每一步计算的舍入误差影响下). 稍后我们再考虑每一步舍入误差带来的影响.



# 单步法的相容性、收敛性与稳定性

对于**Euler**法, 假设有不同初值(或者相当于初值有扰动):

$$y_{n+1} = y_n + hf(t_n, y_n), \quad z_{n+1} = z_n + hf(t_n, z_n).$$

令  $e_n = y_n - z_n$ , 两式相减有  $e_{n+1} = e_n + h[f(t_n, y_n) - f(t_n, z_n)]$ ,  
利用  $f$  的**Lipschitz**连续性条件得到

$$|e_{n+1}| \leq (1 + Lh)|e_n| \leq (1 + Lh)^{n+1}|e_0| \leq e^{LT}|e_0|.$$

即 **Euler** 法对初值是稳定的。

类似可证明其他 **R-K** 方法在此条件下也是对初值稳定的。



# 单步法的相容性、收敛性与稳定性

## 定义 9.5 (收敛性)

设  $T = Nh$ ,  $t_n = nh$ , 令  $E(h) = \max_{0 \leq n \leq N} |\varepsilon_n| \equiv \max_{0 \leq n \leq N} |y(t_n) - y_n|$ .

如果  $\lim_{h \rightarrow 0} E(h) = 0$ , 就称该单步法是**收敛的**. 如果  $\forall h \in (0, h_0]$ , 存在常数  $C > 0$  s.t.  $E(h) \leq Ch^p$ , 就称该单步法是  **$p$  阶收敛的**.

关于收敛性、相容性的关系我们有以下定理结论:

## 定理 9.3

设单步法  $y_{n+1} = y_n + h\phi(t_n, y_n; h)$  的增量函数  $\phi(t, y; h)$  是连续函数, 且关于  $y$  满足 **Lipschitz** 条件, 即

$$\exists L > 0, \forall y_1, y_2 \in \mathbb{R}, \quad |\phi(t, y_1; h) - \phi(t, y_2; h)| \leq L |y_1 - y_2|.$$

那么该单步法收敛的充要条件是该单步法是相容的.

# 单步法的相容性、收敛性与稳定性

◁ 先证明从相容性可以得到收敛性. 即假设单步法相容, 那么

$$\begin{aligned}
 \varepsilon_{n+1} - \varepsilon_n &= y(t_{n+1}) - y_{n+1} - [y(t_n) - y_n] \\
 &= [y(t_{n+1}) - y(t_n)] - (y_{n+1} - y_n) \\
 &= h\phi(t_n, y(t_n); h) + L[t_n, y(t_n); h] - h\phi(t_n, y_n; h) \\
 &= h[\phi(t_n, y(t_n); h) - \phi(t_n, y_n; h)] + L[t_n, y(t_n); h]
 \end{aligned}$$

利用相容性有  $L[t_n, y(t_n); h] = o(h)$ . 再利用  $\phi(t, y; h)$  关于  $y$  的 **Lipschitz** 连续性有

$$\begin{aligned}
 |\varepsilon_{n+1} - \varepsilon_n| &\leq hL |y(t_n) - y_n| + o(h) \implies |\varepsilon_{n+1}| \leq (1 + hL) |\varepsilon_n| + o(h) \\
 \implies |\varepsilon_n| &\leq (1 + hL)^n |\varepsilon_0| + o(h) \sum_{k=0}^{n-1} (1 + hL)^k = (1 + hL)^n |\varepsilon_0| + o(h) \frac{(1 + hL)^n - 1}{hL}
 \end{aligned}$$



# 单步法的相容性、收敛性与稳定性

由  $\varepsilon_0 = 0$  (现在没有考虑舍入误差), 及  $(1 + Lh)^n \leq e^{LT}$  即得  
 $h \rightarrow 0$  时  $E(h) \rightarrow 0$ .

再看由收敛性证相容性. 假设单步法收敛, 即  $E(h) \rightarrow 0$ , 这说明任给  $t_0, y_0 \in \mathbb{R}$ , 有  $h \rightarrow 0$  时,

$$(9.19) \quad y_{n+1} = y_n + h\phi(t_n, y_n; h), \quad y_0 = y(t_0)$$

的解收敛到常微分方程初值问题

$$y'(t) = f(t, y), \quad y(t_0) = y_0$$

的解. 这样令  $g(t, y) = \phi(t, y; 0)$ , 那么利用定理9.2的结论知, 单步法 (9.19) 与以下初值问题相容

$$(9.20) \quad y'(t) = g(t, y), \quad y(t_0) = y_0$$



# 单步法的相容性、收敛性与稳定性

因而由上面推导知单步法(9.19)的解收敛到上面初值问题(9.20)的解.

自然这两个初值问题的解应该是相同的, 即  $\forall t_0, y_0 \in \mathbb{R}$ ,  $f(t_0, y_0) = g(t_0, y_0)$ .

这样由  $\phi(t, x; h)$  的连续性知

$$\lim_{h \rightarrow 0} \phi(t, y; h) = f(t, y).$$

这样再利用定理 9.2 可以得到单步法(9.19)的相容性.  $\triangleright$



# 目录 I

1 引言

2 线性方程组的直接解法

3 线性方程组的迭代解法

4 非线性方程(组)迭代解法

5 代数特征值问题的求解

6 插值法

7 函数逼近与数据拟合

8 数值积分与微分

9 常微分方程数值解

- 常微方程初值问题的差分方法

- 常微方程初值问题的线性多步法

- 常微方程差分方法的绝对稳定性与相对稳定性





# 线性多步法

从单步法的构造中我们可以看到, 每一步我们需要通过插值来计算  $K_j$  ( $\approx f(s_j, y(s_j))$ ). 当我们已经获得了多个节点的值  $y_j$  ( $j = 1, 2, \dots, k-1$ ) 之后, 我们可以尝试利用这些现成的函数值来做插值, 而不需要再引入新的节点  $s_j$ . 这就是**多步法**, 相当于之前的增量函数取成

$$\phi_f = \sum_{j=0}^k \beta_j f(t_{n+j}, y_{n+j}),$$

即线性多步法为

$$(9.21) \quad \sum_{j=0}^k \alpha_j y_{n+j} = h \sum_{j=0}^k \beta_j f(t_{n+j}, y_{n+j}).$$

这里一般设  $\alpha_k \neq 0$ . 如果  $\beta_k = 0$ , 为显式格式; 反之若  $\beta_k \neq 0$ , 则为隐式格式.



# 线性多步法—待定系数法

类似于前面单步法，我们也可令

$$L[y(t_n); h] = \sum_{j=0}^k [\alpha_j y(t_{n+j}) - h \beta_j f(t_{n+j}, y(t_{n+j}))]$$

为多步法 (9.21) 的局部截断误差. 将之在  $t_n$  做 **Taylor** 展开, 写成

$$L[y(t_n); h] = c_0 y(t_n) + c_1 h y'(t_n) + \cdots + c_p h^p y^{(p)}(t_n) + \cdots$$

易得

$$(9.22) \quad \begin{cases} c_0 = \alpha_0 + \alpha_1 + \cdots + \alpha_k \\ c_1 = \alpha_1 + 2\alpha_2 + \cdots + k\alpha_k - (\beta_0 + \beta_1 + \cdots + \beta_k) \\ \dots\dots\dots \\ c_p = \frac{\alpha_1 + 2^p \alpha_2 + \cdots + k^p \alpha_k}{p!} - \frac{\beta_1 + 2^{p-1} \beta_2 + \cdots + k^{p-1} \beta_k}{(p-1)!} \\ \dots\dots\dots \end{cases}$$



# 线性多步法—待定系数法

若(9.22)中  $c_0 = \cdots = c_p = 0$ ,  $c_{p+1} \neq 0$ , 则称多步法 (9.21) 是  $p$  阶方法, 局部截断误差为  $L[y(t_n); h] = c_{p+1}h^{p+1}y^{(p+1)}(\xi_n)$ .

一般我们取  $\alpha_k = 1$ , 若在 (9.22) 中令  $c_0 = c_1 = \cdots = c_p = 0$ , 而且恰好  $p+1 = 2k+1$ , 则可解出  $\alpha_0, \cdots, \alpha_{k-1}$  和  $\beta_0, \cdots, \beta_k$ . 这样就是用待定系数法来确定 (9.21) 中的系数.

$k=1$  时, 若只要求  $p=1$ , 即  $\alpha_0 + \alpha_1 = 0$ ,  $\alpha_1 - \beta_0 - \beta_1 = 0$ , 我们有  $\alpha_0 = -1$ ,  $\beta_0 + \beta_1 = 1$ , 即  $\beta_0, \beta_1$  有无穷多种选取方法.

如果取  $\beta_0 = 1$ ,  $\beta_1 = 0$ , 此即显式 **Euler** 法; 如果取  $\beta_0 = 0$ ,  $\beta_1 = 1$ , 此即隐式 **Euler** 法.

若要求  $p=2$ , 则得到  $\alpha_0 = -1$ ,  $\beta_0 = \beta_1 = \frac{1}{2}$ , 此即梯形法.



# 线性多步法—计算步骤

当然, 多步法无法自行启动, 需要由其他单步法给出初值

$y_1, y_2, \dots, y_{k-1}$ . 另外如果  $\beta_k \neq 0$ , 即对于隐式格式,

$$y_{n+k} = - \sum_{j=0}^{k-1} \alpha_j y_{n+j} + h \sum_{j=0}^k \beta_j f(t_{n+j}, y_{n+j}),$$

一般还需要迭代才能求解. 将之改写成

$y_{n+k} = h\beta_k f(t_{n+k}, y_{n+k}) + g_{n,k}$ , 我们可以用以下迭代格式

$$y_{n+k}^{(m+1)} = h\beta_k f(t_{n+k}, y_{n+k}^{(m)}) + g_{n,k},$$

$y_{n+k}^{(0)}$ ) 可以由其他显式方法给出.

类似于之前的推导可知, 该迭代方法的收敛性条件为

$h|\beta_k|L < 1$ , 其中  $L$  为  $f(t, y)$  关于  $y$  的 Lipschitz 常数.



# 线性多步法—数值积分法

当然也可以用数值积分办法来推导. 但是要注意, 数值积分推导方法只能得到部分形式的线性多步法.

我们把常微分方程 (9.1) 在  $[t_{n+k-l}, t_{n+k}]$  上积分可以得到

$$y(t_{n+k}) = y(t_{n+k-l}) + \int_{t_{n+k-l}}^{t_{n+k}} f(t, y(t)) dt,$$

然后如果用等距节点的各种插值多项式来代替被积函数  $f(t, y(t))$ , 便可以得到各种各样的线性多步法.

如取  $k = l = 4$ , 那么得到

$$y(t_{n+4}) = y(t_n) + \int_{t_n}^{t_{n+4}} f(t, y(t)) dt.$$



# 线性多步法—数值积分法

然后如果我们取  $F(t) \equiv f(t, y(t))$  在  $t_{n+1}, t_{n+2}, t_{n+3}$  三点上的值进行二次插值, 得到

$$L_2(t) = \sum_{j=0}^2 f(t_{n+1+j}, y(t_{n+1+j})) l_j(t),$$

代替  $F(t)$  求积分我们得到

$$\int_{t_n}^{t_{n+4}} L_2(t) dt = \frac{4h}{3} [2f_{n+1} - f_{n+2} + 2f_{n+3}], \text{ 这里 } f_m = f(t_m, y_m).$$

即得到格式  $y_{n+4} = y_n + \frac{4h}{3} [2f_{n+1} - f_{n+2} + 2f_{n+3}]$ , 此格式称为 **Milne** 方法. 易见其局部截断误差为

$$T_{n+4} = \frac{14}{45} h^5 y^{(5)}(t_n) + \mathcal{O}(h^6),$$

即 **Milne** 方法为四阶方法.



# 线性多步法—Adams 多步法

如果取  $l = 1$ , 得到

$$y(t_{n+k}) = y(t_{n+k-1}) + \int_{t_{n+k-1}}^{t_{n+k}} f(t, y(t)) dt,$$

如果利用  $f$  在  $t_{n+k-1}, \dots, t_n$  上的值构造一个  $k-1$  阶插值多项式  $L_{k-1}(t)$  来代替  $f$  求积分, 便得到 **Adams 外插法** 格式:

显式格式

$$(9.23) \quad y_{n+k} = y_{n+k-1} + h \sum_{j=0}^{k-1} \beta_j f_{n+j}.$$

这称为显式 **Adams 格式** (外插法).



# Adams 多步法

如果利用  $f$  在  $t_{n+k}, \dots, t_n$  上的值构造一个  $k$  阶插值多项式  $\tilde{L}_k(t)$  来代替  $f$  求积分, 便得到 **Adams** 内插法格式:

$$(9.24) \quad y_{n+k} = y_{n+k-1} + h \sum_{j=0}^k \tilde{\beta}_j f_{n+j}.$$

这称为隐式 **Adams** 格式 (内插法).

**Adams** 线性多步法是使用较多的一类线性多步法.

比较 (9.23) 与 (9.23) 的构造过程易见,  $k$  步隐式 **Adams** 方法比  $k$  步显式 **Adams** 方法用了更高一阶的多项式做插值, 因而其精度自然会高一阶. 但是隐式格式的缺点是需要迭代求解.





# 线性多步法的相容性与稳定性

由前面局部截断误差的定义，可以说，如果

$$L[y(t_n); h] = \sum_{j=0}^k [\alpha_j y(t_{n+j}) - h\beta_j f(t_{n+j}, y(t_{n+j}))] = c_{p+1} h^{p+1} y^{(p+1)}(\xi_n),$$

则称多步法 (9.21) 与原初值问题是  $p$  阶相容的。

如果引入多步法 (9.21) 的第一、第二特征多项式:

$$(9.25) \quad \rho(\lambda) = \sum_{j=0}^k \alpha_j \lambda^j, \quad \sigma(\lambda) = \sum_{j=0}^k \beta_j \lambda^j.$$

当  $h \rightarrow 0$  时, 若

$$\frac{1}{h\rho'(1)} \sum_{j=0}^k [\alpha_j y(t_{n+j}) - h\beta_j f(t_{n+j}, y(t_{n+j}))] - [y'(t_n) - f(t_n, y(t_n))] = o(1),$$

即差分方程收敛到原微分方程, 则称(9.21)与(9.1)相容。



# 线性多步法的相容性与稳定性

可以验证 (将  $y_{t_n+j}, f(t_{n+j}, y_{t_n+j})$  在  $t_n$  处 **Taylor** 展开):

多步法 (9.21) 与 (9.1) **相容**  $\iff \rho(1) = 0$ , 且  $\rho'(1) = \sigma(1)$ .

下面我们来看其对初值的稳定性.

## 定义 9.6

称多步法 (9.21) 是对初值稳定的, 是指若存在不依赖于  $h$  的常数  $C$  及  $h_0, \varepsilon > 0$ , s.t.  $\forall h \in (0, h_0)$  及任取两组不同初值得到的解  $\{u_n\}_{n=0}^N$  和  $\{v_n\}_{n=0}^N$ , 当  $\max_{0 \leq j \leq k-1} |u_j - v_j| < \varepsilon$  时, 就有

$$(9.26) \quad \max_{nh \leq T} |u_n - v_n| \leq C \max_{0 \leq j \leq k-1} |u_j - v_j|.$$

换句话说, 只要步长充分小, 多步法的解可以连续依赖于初值.

利用以下 **Gronwall** 不等式, 我们可以得到多步法的稳定性定理.

# Gronwall 不等式

## 引理 9.1 (连续情形 Gronwall 不等式)

设  $\eta(t)$  对  $t \in [a, b]$  连续且满足:

$$\exists \alpha, \beta \geq 0, \forall t \in [a, b], \quad |\eta(t)| \leq \beta + \alpha \int_a^t |\eta(\tau)| d\tau.$$

则有  $|\eta(t)| \leq \beta e^{\alpha(t-a)}, \quad \forall t \in [a, b]$ .

◁ 先设  $\beta > 0$ . 令  $\xi(t) = \beta + \alpha \int_a^t |\eta(\tau)| d\tau \implies |\eta(t)| \leq \xi(t)$ . 且  $\xi'(t) = \alpha |\eta(t)| \leq \alpha \xi(t)$ . 结合  $\xi(t) \geq \beta > 0 \implies \frac{\xi'}{\xi} \leq \alpha$  积分并利用  $\xi(a) = \beta$  即得  $|\eta(t)| \leq \xi(t) \leq \beta e^{\alpha(t-a)}$

对  $\beta = 0$  情形加一个摄动  $\varepsilon > 0$ :  $\beta_\varepsilon = \beta + \varepsilon > 0$  即可证明. ▷



# 离散 Gronwall 不等式

## 引理 9.2 (离散情形 Gronwall 不等式)

设  $\alpha, \beta \geq 0, T, h > 0$ , 序列  $\{\eta_n\}_{n \geq 0}$  满足:

$$|\eta_n| \leq \beta + \alpha h \sum_{j=0}^{n-1} |\eta_j|, \quad \text{对 } n = k, k+1, \dots, \text{ 且 } nh \leq T \text{ 成立,}$$

则当  $n \geq k$  且  $nh \leq T$  时, 有  $|\eta_n| \leq e^{\alpha nh}(\beta + \alpha kh M_0)$ , 其中  $M_0 = \max(|\eta_0|, \dots, |\eta_{k-1}|)$ .

◁ 将前面积分换成求和, 令  $\xi_n = \beta + \alpha h \sum_{j=0}^{n-1} |\eta_j|$ ,

有  $|\eta_n| \leq \xi_n$ , 且  $\xi_n - \xi_{n-1} = \alpha h |\eta_{n-1}| \leq \alpha h \xi_{n-1}$

$\implies \xi_n \leq (1 + \alpha h) \xi_{n-1} \leq (1 + \alpha h)^{n-k} \xi_k$ .

又  $\xi_k = \beta + \alpha h \sum_{j=0}^{k-1} |\eta_j| \leq \beta + \alpha kh M_0$ ,

且  $(1 + \alpha h)^{n-k} \leq (1 + \alpha h)^n \leq e^{\alpha nh}$ . 代入上面即得. ▷



# 线性多步法的相容性与稳定性

多步法 (9.21) 什么时候具有对初值的稳定性呢?

定理 9.4 (多步法对初值稳定的充要条件)

多步法 (9.21) 对初值稳定  $\iff$  第一特征多项式  $\rho(\lambda)$  满足所谓的根条件:  $\rho(\lambda)$  的根都在单位圆内, 且在单位圆周上的根全为单根.

◁ 先证必要性“ $\implies$ ”. 即假设多步法对初值稳定. 可不妨设  $f \equiv 0$ .

先证明  $\rho(\lambda)$  的根都在单位圆内. 用反证法, 假设  $\rho(\lambda) = 0$  有一解  $\mu$  s.t.  $|\mu| > 1$ . 考虑如下两组初值:

$$\begin{aligned} u_j &= \delta \mu^j, & 0 \leq j \leq k-1, & \text{这里 } \delta > 0 \text{ 为待定常数} \\ v_j &= 0, \end{aligned}$$

显然有如果用 (9.21) 计算, 有其解为:

$$u_n = \delta \mu^n, \quad v_n \equiv 0, \quad n = 0, 1, \dots$$



# 线性多步法的相容性与稳定性

这样尽管初始误差  $\max_{0 \leq j < k} |u_j - v_j| = \delta |\mu|^{k-1}$  可以很小, 但是当

$h \rightarrow 0, nh \leq T$  时, 会有  $n \rightarrow +\infty$ , 因而  $|u_n - v_n| = \delta |\mu|^n \rightarrow +\infty$ .  
显然此时不稳定, 与前提矛盾, 因此  $\rho(\lambda)$  不会有模大于1 的根.

再证单位圆周上只能有单根: 依然用反证法, 假设  $\rho(\lambda)$  有重根  $\mu \in \mathbb{C}$  s.t.  $|\mu| = 1$  且  $\rho(\mu) = \rho'(\mu) = 0$ .

此时考虑如下初值选取:

$$\begin{aligned} u_j &= \delta j \mu^j, \quad 0 \leq j \leq k-1, \quad \text{这里 } \delta > 0 \text{ 为常数} \\ v_j &= 0, \end{aligned}$$

易见如果用 (9.21) 计算, 有其解为:

$$u_n = \delta n \mu^n, \quad v_n \equiv 0, \quad n = 0, 1, \dots$$



# 线性多步法的相容性与稳定性

这样仍然有初始误差  $\max_{0 \leq j < k} |u_j - v_j| = \delta(k-1)|\mu|^{k-1} = \delta(k-1)$  可以足够小, 但  $|u_n - v_n| = \delta n \rightarrow +\infty$ , 当  $n \rightarrow +\infty$ . 与稳定性矛盾.

因此上面我们证明了: 如果多步法 (9.21) 对初值稳定, 必然有  $\rho(\lambda)$  满足根条件.

下面看充分性: “ $\Leftarrow$ ”, 即假设  $\rho(\lambda)$  满足根条件, 欲证明对初值的稳定性. 要证明这个, 我们先要把差分方程的解结构弄清楚.

先看齐次差分方程:  $\alpha_k y_{n+k} + \cdots + \alpha_0 y_n = 0$ . 其通解可以写成

$$(9.27) \quad Y_n = \sum_{j=1}^J \sum_{l=1}^{r_j} c_{jl} n^{l-1} \xi_j^n, \quad (c_{jl} \text{ 为一些常数})$$

其中  $\xi_j$  为  $\rho(\lambda) = 0$  的  $r_j$  重根, 且  $\sum_{j=1}^J r_j = k$ .



# 线性多步法的相容性与稳定性

对于非齐次差分方程:  $\alpha_k z_{n+k} + \cdots + \alpha_0 z_n = \gamma_{n+k}$ , 给了初值  $\{z_0, \cdots, z_{k-1}\}$  后的解为 (设  $\alpha_k \neq 0$ )

$$(9.28) \quad z_n = \sum_{j=0}^{k-1} z_j Y_n^{(j)} + \frac{1}{\alpha_k} \sum_{j=0}^{n-k} \gamma_{j+k} Y_{n-j-1}^{(k-1)}, \quad n = k, k+1, \cdots$$

这里  $\{Y_n^{(j)}\}$  是齐次差分方程  $\begin{cases} \sum_{l=0}^k \alpha_l Y_{n+l}^{(j)} = 0, \\ Y_i^{(j)} = \delta_{ij}, \quad 0 \leq i < k; \end{cases}$  的解.

设  $u_n, v_n$  为用 (9.21) 式计算的任两组解, 令  $\varepsilon_n = u_n - v_n$ , 有

$$\sum_{j=0}^k \alpha_j \varepsilon_{n+j} = \gamma_{n+k} \equiv h \sum_{j=0}^k \beta_j [f(t_{n+j}, u_{n+j}) - f(t_{n+j}, v_{n+j})].$$

由前面结果知其解为:  $\varepsilon_n = \sum_{j=0}^k \varepsilon_j Y_n^{(j)} + \frac{1}{\alpha_k} \sum_{j=0}^{n-k} \gamma_{j+k} Y_{n-j-1}^{(k-1)}.$





# 线性多步法的相容性与稳定性

由于  $\rho(\lambda)$  满足根条件, 即  $|\xi_j| \leq 1$ , 且若  $|\xi_j| = 1$  必有  $r_j = 1$ .  
 $\implies \exists C > 0$ , s.t.  $|Y_n| \leq C$ , (当  $nh \leq T$ ) 即齐次方程的解总是有界.  
 $\implies |\varepsilon_n| \leq C \left( \sum_{j=0}^{k-1} |\varepsilon_j| + \frac{1}{|\alpha_k|} \sum_{j=0}^{n-k} |\gamma_{j+k}| \right)$ , 当  $n \geq k$ .

令  $M_0 = \max_{0 \leq j < k} |\varepsilon_j|$ , 再利用  $f(t, y)$  关于  $y$  满足 **Lipschitz** 连续性得:

$$|\varepsilon_n| \leq C \left( kM_0 + \frac{hL}{|\alpha_k|} \sum_{j=0}^{n-k} \sum_{l=0}^k |\beta_l| |\varepsilon_{l+j}| \right)$$

再令  $B_0 = \frac{kL}{|\alpha_k|} \max_{0 \leq l \leq k} |\beta_l|$ , 有

$$|\varepsilon_n| \leq CkM_0 + hB_0 \sum_{j=0}^n |\varepsilon_j|.$$



# 线性多步法的相容性与稳定性

显然当  $h$  充分小时, 可以有

$$|\varepsilon_n| \leq CkM_0 + h\tilde{C} \sum_{j=0}^{n-1} |\varepsilon_j|.$$

从而由离散 **Gronwall** 不等式 (引理 9.2)

$$\implies |\varepsilon_n| \leq e^{\tilde{C}nh} \left( CkM_0 + \tilde{C}khM_0 \right), \quad n \geq k, \quad nh \leq T.$$

即证明了格式对初值的稳定性。▷

由上面定理, 如果 (9.21) 满足相容性以及根条件, 且  $h \rightarrow 0$  时, 假设初值误差  $\rightarrow 0$ , 则  $t_0 + nh \rightarrow t$  时, 有  $y_n = y(t_0 + nh) \rightarrow y(t)$ , 即有离散解的收敛性.



# 线性多步法的相容性与稳定性

## 例 9.5

考虑初值问题  $\begin{cases} y'(t) = 4t\sqrt{y}, & 0 \leq t \leq 1, \\ y(0) = 1; \end{cases}$  其解为  $y(t) = (1 + t^2)^2$ .

用多步法:  $y_{n+2} - (1+a)y_{n+1} + ay_n = \frac{h}{2}[(3-a)f_{n+1} - (1+a)f_n]$ ,

可以检验  $c_0 = c_1 = c_2 = 0, c_3 = \frac{a+5}{12}$ . 又由其第一特征多项式

$\rho(\lambda) = \lambda^2 - (1+a)\lambda + a = (\lambda-1)(\lambda-a)$  的根为  $\lambda_1 = 1, \lambda_2 = a$ .

我们知道  $a = -5$  时, 该方法为不稳定三阶格式;  $a \neq -5$

(例如取  $a = 0$ ) 为二阶稳定格式. 假如取  $a = -5, h = 0.1$ , 可得

$t$	0	0.1	0.2	...	0.7	0.8	0.9	1.0
$y(t)$	1	1.0201	1.0816	...	2.2201	2.6896	3.2761	4.0000
$y_n$	1	1.0201	1.0812	...	2.9130	-0.6026	—	—

# 目录 I

1 引言

2 线性方程组的直接解法

3 线性方程组的迭代解法

4 非线性方程(组)迭代解法

5 代数特征值问题的求解

6 插值法

7 函数逼近与数据拟合

8 数值积分与微分

9 常微分方程数值解

- 常微方程初值问题的差分方法

- 常微方程初值问题的线性多步法

- 常微方程差分方法的绝对稳定性与相对稳定性



## 舍入误差的影响

前面我们一直没有考虑每一步计算中舍入误差带来的影响,但这事实上是无法避免的.

考虑如下一般形式的差分法:

$$(9.29) \quad \sum_{j=0}^k \alpha_j y_{n+j} = h \phi_f(t_n; y_n, \dots, y_{n+k}; h).$$

实际计算时,由于舍入误差的影响,实际计算式为

$$(9.30) \quad \sum_{j=0}^k \alpha_j \bar{y}_{n+j} = h \phi_f(t_n; \bar{y}_n, \dots, \bar{y}_{n+k}; h) + \delta_{n+k}.$$

其中  $\delta_{n+k}$  表示每步计算带来的舍入误差影响.

通常可以认为  $\delta_l$  是可以控制的,可以足够小.



# 舍入误差的影响

虽然我们前面估计了  $y_n$  与  $y(t_n)$  之间的截断误差, 但是还需  $|\bar{y}_n - y_n|$  充分小, 才能有实际计算精度足够高.

令  $e_n = \bar{y}_n - y_n$ , 有

$$\sum_{j=0}^k \alpha_j e_{n+j} = h[\phi_f(t_n; \bar{y}_n, \dots, \bar{y}_{n+k}; h) - \phi_f(t_n; y_n, \dots, y_{n+k}; h)] + \delta_{n+k}.$$

若  $f$  是一个比较复杂的函数, 显然不好估计舍入误差的增长情况. 因此一般我们都只在假设  $f(t, y)$  仅是  $y$  的线性函数情况下讨论. 即以下假设

$$(9.31) \quad f(t, y) = \mu y, \quad \mu \in \mathbb{C} \text{ 为一个常数.}$$

可以将  $\mu$  看成  $\frac{\partial f}{\partial y}(t, y)$  的近似.



# 舍入误差的影响

自然, 若  $f \equiv \mu y$ , 问题  $\begin{cases} y'(t) = \mu y, \\ y(0) = y_0; \end{cases}$  的解为  $y(t) = y_0 e^{\mu t}$ .

用多步法 (9.21) 来求解 (单步法(9.3)可以看成  $k = 1$  的特例)

$$(9.32) \quad \sum_{j=0}^k (\alpha_j - \bar{h}\beta_j) y_{n+j} = 0,$$

其中  $\bar{h} = \mu h$ . 若令  $\gamma_j(\bar{h}) = \alpha_j - \bar{h}\beta_j$ , 有

$$(9.33) \quad \sum_{j=0}^k \gamma_j e_{n+j} = \delta_{n+k}.$$

引入向量形式记号(假设  $\gamma_k = \alpha_k - \bar{h}\beta_k \neq 0$ )

$$\vec{E}_n = (e_{n+k-1}, e_{n+k-2}, \dots, e_n)^T, \quad \vec{\eta}_n = (\gamma_k^{-1} \delta_{n+k}, 0, \dots, 0)^T \in \mathbb{R}^k, \quad \text{清华大学}$$

# 舍入误差的影响

再令矩阵  $A = \begin{pmatrix} -\gamma_k^{-1}\gamma_{k-1} & -\gamma_k^{-1}\gamma_{k-2} & \cdots & -\gamma_k^{-1}\gamma_0 \\ 1 & 0 & \cdots & 0 \\ & \ddots & \ddots & \vdots \\ 0 & & \ddots & 0 \end{pmatrix}$ , 得到以

下矩阵形式的误差传递式:

$$(9.34) \quad \vec{E}_{n+1} = A \vec{E}_n + \vec{\eta}_n.$$

这样其解为

$$(9.35) \quad \vec{E}_{n+1} = A^n \vec{E}_0 + \sum_{j=0}^{n-1} A^{n-j-1} \vec{\eta}_j, \quad n = 1, 2, \dots$$

一般可假设  $\|\vec{E}_0\|, \|\vec{\eta}\|$  可以充分小 (取决于计算机字长).





# 绝对稳定性

但要保证  $\|\vec{E}_n\|$  有界 (注意  $h \rightarrow 0$  时,  $nh \leq T$  会有  $n \rightarrow +\infty$ ), 我们需要  $\|A^n\| \rightarrow 0$  才行. 即需要  $A$  的谱半径  $< 1$ . 由矩阵  $A$  的表达式易得其特征方程为

$$(9.36) \quad \rho(\lambda) - \bar{h}\sigma(\lambda) = 0.$$

这样, 要保证  $\|\vec{E}\|$  有界, 即需要上面方程的根的模式均小于 1.

## 定义 9.7 (绝对稳定性)

称线性多步法(9.21)关于  $\bar{h} = \mu h$  是绝对稳定的, 是指上述特征方程(9.36)的根均在单位圆周内, 即  $\lambda_j(\bar{h}) < 1, j = 1, \dots, k$ .

如果在复平面上存在区域  $D$  s.t.  $\forall \bar{h} \in D$ , 多步法(9.21)都关于该  $\bar{h}$  绝对稳定, 则称  $D$  为该方法的绝对稳定域.

由于  $e_n$  与  $y_n$  满足同样的差分方程, 故而有以下定理.

# 绝对稳定性

## 定理 9.5 (绝对稳定的必要条件)

若 (9.21) 是相容且对初值稳定的格式, 且当  $h \rightarrow 0$  时关于  $\bar{h} = \mu h$  绝对稳定, 则必有  $Re(\mu) < 0$  (即  $y(t)$  本身是指数衰减的).

◁ 如果格式相容且对初值稳定, 那么  $y_n \rightarrow y(t_n)$ , 当  $h \rightarrow 0$  时.

而  $y_n$  与  $e_n$  满足的差分方程相同, 如果格式关于  $\bar{h} = \mu h$  绝对稳定, 那么特征值方程的所有根的模都小于1.

由前面差分方程解的表达式知, (参看定理 9.4 中的公式 (9.27)-(9.28)) 应该有, 当  $n \rightarrow +\infty$  时  $y_n, e_n \rightarrow 0$ .

再由试验方程的解为  $y(t) = y(0)e^{\mu t}$ , 立刻应该有  $Re(\mu) < 0$ .

▷



# 绝对稳定性

对单步法可类似定义绝对稳定性.

由于问题的复杂性, 我们也仅对试验方程考虑, 即假设  $f(t, y) = \mu y$ , 这样有

$$y_{n+1} = y_n + h\phi_f(t_n, y_n; h) \equiv E(\bar{h})y_n.$$

即特征方程是  $\lambda - E(\bar{h}) = 0$ .

例如对于 **Euler** 方法, 有

$$y_{n+1} = y_n + hf(t_n, y_n) = (1 + h\mu)y_n = (1 + \bar{h})y_n.$$

由前面线性多步法的绝对稳定性条件, 需要特征方程的根的模小于1, 也就是说单步法的绝对稳定性条件为  $|E(\bar{h})| < 1$ .



# 显式 R-K 方法的绝对稳定性

## 例 9.6 (考虑二阶显式 R-K 格式)

$$\begin{cases} y_{n+1} = y_n + \frac{h}{2}(K_1 + K_2), \\ K_1 = f_n, \quad K_2 = f(t_{n+1}, y_n + hK_1). \end{cases}$$

应用于试验方程  $f \equiv \mu y$ , 得到 (令  $\bar{h} = \mu h$ ):

$$y_{n+1} = y_n + \bar{h} \left(1 + \frac{\bar{h}}{2}\right) y_n \equiv \left(1 + \bar{h} + \frac{\bar{h}^2}{2}\right) y_n.$$

特征方程:  $\lambda - \left(1 + \bar{h} + \frac{\bar{h}^2}{2}\right) = 0$ , 稳定性条件为:  $|1 + \bar{h} + \frac{\bar{h}^2}{2}| < 1$ .

可以用边界轨迹法来确定稳定区域  $D \subset \mathbb{C}$ :

令  $\lambda = e^{i\theta}$  代入上面特征方程 ( $D$  的边界点对应模为1的根):

$$1 + \bar{h} + \frac{\bar{h}^2}{2} - e^{i\theta} = 0 \implies \bar{h} = -1 \pm \sqrt{2e^{i\theta} - 1}.$$

# 隐式 R-K 方法的绝对稳定性

例 9.7 (类似地考虑二阶隐式 R-K 格式)

$$y_{n+1} = y_n + hf \left( t_n + \frac{h}{2}, \frac{y_n + y_{n+1}}{2} \right),$$

令  $f \equiv \mu y$ , 得到 (令  $\bar{h} = \mu h$ ):

$$y_{n+1} = y_n + \bar{h} \frac{y_n + y_{n+1}}{2} \implies y_{n+1} = \frac{1 + \bar{h}/2}{1 - \bar{h}/2} y_n.$$

特征方程为:  $\lambda - \frac{1 + \bar{h}/2}{1 - \bar{h}/2} = 0$ , 即要求:  $\left| \frac{1 + \bar{h}/2}{1 - \bar{h}/2} \right| < 1$ .

易见其等价于  $Re(\bar{h}) < 0$ .

即隐式二阶 **R-K** 方法的绝对稳定域包含了整个左半复平面!

可类似地证明其他各阶隐式 **R-K** 方法的绝对稳定域都包含了左半复平面! 我们称这样的格式为 **A-稳定方法**.

# 多步法的绝对稳定性

例 9.8 (考虑以下隐式格式–Simpson 方法)

$$y_{n+2} = y_n + \frac{h}{3} (f_{n+2} + 4f_{n+1} + f_n).$$

可以证明这是精度最高的二步法, 为二步四阶隐式格式. 同样考虑  $f = \mu y$ , 其特征方程为

$$\begin{aligned} 0 &= \rho(\lambda) - \bar{h}\sigma(\lambda) = \lambda^2 - 1 - \frac{\bar{h}}{3}(\lambda^2 + 4\lambda + 1) \\ &= \left(1 - \frac{\bar{h}}{3}\right)\lambda^2 - \frac{4\bar{h}}{3}\lambda - \left(1 + \frac{\bar{h}}{3}\right). \end{aligned}$$

自然有两个根  $\lambda_{\pm} = \frac{2\bar{h} \pm \sqrt{3\bar{h}^2 + 9}}{3 - \bar{h}}$ . 当  $h \rightarrow 0$  时, **总有一个根模大于1**

$$\lambda_{\pm}(\bar{h}) = \frac{2\bar{h}}{3} + \frac{2\bar{h}^2}{9} + \mathcal{O}(\bar{h}^3) \pm \left(1 + \frac{\bar{h}}{3} + \frac{5\bar{h}^2}{18} + \mathcal{O}(\bar{h}^3)\right).$$

当  $Re(\mu) < 0$ ,  $h \ll 1$  时, 就有  $Re(\lambda_-) < -1$ , 即  $|\lambda_-| > 1$ . 这说明无论  $h$  多小, 总有  $|\lambda_-| > 1$ . 即 *Simpson* 方法为**“绝对不稳定”**.

# 相对稳定性

前面我们已经说过 (cf. 定理 9.5), 只能在  $Re(\mu) < 0$  时考虑格式的绝对稳定性. 那么如果  $Re(\mu) \geq 0$ , 此时什么样的算法是可以接受的呢? 仍考虑试验方程:

$$\begin{cases} y'(t) = \mu y, \\ y(0) = y_0; \end{cases} \implies y(t) = y_0 e^{\mu t}.$$

及多步法  $\sum_{j=0}^k \alpha_j y_{n+j} = h \sum_{j=0}^k \beta_j f_{n+j}$ . 设其为相容、对初值稳定的.

也就是说,  $\rho(1) = 0$ ,  $\rho'(1) = \sigma(1)$ ,  $\rho(\lambda) = 0$  的根均在单位圆内, 且单位圆周上为单根. 由此也说明  $\lambda_1 = 1$  是  $\rho(\lambda) = 0$  的单根.

设该方法为  $p$  阶格式, 即局部截断误差为  $c_{p+1} h^{p+1} y^{(p+1)}(\xi_n)$ .

也就是有  $L[y(t_n); h] = \sum_{j=0}^k (\alpha_j - \bar{h} \beta_j) y(t_{n+j}) = \mathcal{O}(h^{p+1})$ .



# 相对稳定性

由  $y(t_j) = y_0 e^{\mu j h} = y_0 (e^{\bar{h}})^j \implies y_0 e^{n \bar{h}} \sum_{j=0}^k (\alpha_j - \bar{h} \beta_j) (e^{\bar{h}})^j = \mathcal{O}(h^{p+1})$ .

结合其特征方程:  $\rho(\lambda) - \bar{h} \sigma(\lambda) = 0$ , 我们知道特征方程必有一根

$$\lambda_1(\bar{h}) = e^{\bar{h}} + \mathcal{O}(h^{p+1}).$$

$h \rightarrow 0$  时, 即有  $\lambda_1(\bar{h}) \rightarrow \lambda_1 = 1$ .

再考虑舍入误差的方程  $\sum_{j=0}^k (\alpha_j - \bar{h} \beta_j) e_{n+j} = \delta_{n+k}$ .

结合差分方程解的表达式我们知道,  $e_n$  的表达式中必有一项

$$C \cdot \lambda_1^n(\bar{h}) = C \cdot e^{n \bar{h}} + \mathcal{O}(h^{p+1}) = C \cdot e^{\mu t_n} + \mathcal{O}(h^{p+1}).$$

也就是说  $e_n = C \cdot e^{\mu t_n} + \mathcal{O}(h^{p+1}) + \dots$

对比  $y(t)$  的表达式我们知道,  $e_n$  的增长性至少与  $y(t_n)$  相同.





## 相对稳定性

假设上面解  $e_n$  的表达式中  $\lambda_1^n(\bar{h})$  为主项, 其他项为该项的**高阶小量** (当  $h \rightarrow 0$ ), 即  $|\lambda_1(\bar{h})| > |\lambda_j(\bar{h})|, j = 2, \dots, k$ . 这时可以认为舍入误差带来的影响的增长率至多与真实解同阶. 此时可以认为计算结果是可接受的. 这样引入了另一种稳定性概念:

### 定义 9.8 (相对稳定性)

称多步法(9.21)对给定的  $\bar{h}$  是**相对稳定的**, 是指若特征方程 (9.36) 的根满足  $\lambda_1(\bar{h}) = e^{\bar{h}} + \mathcal{O}(h^{p+1})$  (自然有  $\lambda_1(0) = 1$ ), 且

$$|\lambda_1(\bar{h})| > |\lambda_j(\bar{h})|, j = 2, \dots, k.$$

否则就称该方法对于  $\bar{h}$  不是相对稳定的.

如果在复平面上存在区域  $D$  s.t.  $\forall \bar{h} \in D$ , 多步法 (9.21) 都关于该  $\bar{h}$  相对稳定, 则称  $D$  为该方法的**相对稳定域**.

# 相对稳定性

## 例 9.9 (考虑以下两步法)

$$y_{n+2} - (1+a)y_{n+1} + ay_n = \frac{h}{12}[(5+a)f_{n+2} + 8(1-a)f_{n+1} - (1+5a)f_n]$$

假设  $-1 \leq a \leq 1$ . 显然, 当  $a \neq -1$  时, 上式为三阶方法;  $a = -1$  时为 *Simpson* 方法. 其特征多项式为

$$\rho(\lambda) - \bar{h}\sigma(\lambda) = \left[1 - \frac{\bar{h}(5+a)}{12}\right]\lambda^2 - \left[(1+a) + \frac{2\bar{h}}{3}(1-a)\right]\lambda + a + \frac{\bar{h}}{12}(1+5a)$$

简单起见, 仅考虑  $\mu \in \mathbb{R}$  情形. 可得

其绝对稳定域为  $\left(6\frac{a+1}{a-1}, 0\right)$ . 其相对稳定域为  $\left(\frac{3(a+1)}{2(a-1)}, +\infty\right)$ .

例如取  $a = 0$ , 来求解

$$\begin{cases} y' = -100y, & 0 \leq t \leq 1, \\ y(0) = 1; \end{cases} \implies y(t) = e^{-100t}.$$

# 相对稳定性

要使方法绝对稳定, 需要  $-6 < -100h < 0$ , 即  $h < 0.06$ .

要使方法相对稳定, 需要  $-\frac{3}{2} < -100h < +\infty$ , 即  $h < 0.015$ .

取  $h = 0.01, 0.02, 0.1$  分别计算:

---

$h=0.01$	$y_2=0.1454$	$y_3=0.0558$	$y_4=0.0217$	$y_5=8.39E-3$	...
$y(t_n)$	0.1353	0.0498	0.0183	$6.74E-3$	...

---

$h=0.02$	$y_2=0.0663$	$y_3=2.48E-4$	$y_4=5.98E-3$	$y_5=-1.07E-3$	...
$y(t_n)$	0.0183	$2.48E-3$	$3.35E-4$	$4.54E-5$	...

---

$h=0.1$	$y_2=0.1612$	$y_3=-0.1768$	$y_4=0.2200$	$y_5=-0.2698$	...
$y(t_n)$	$2.06E-9$	0	0	0	...

---

